

# 電気パルス刺激による2次元情報伝達<sup>†</sup>

谷 江 和 雄\*・館

暉\*・小森谷

清\*・阿 部

稔\*

## Study on Two-Dimensional Electrocuteaneous Communication

Kazuo TANIE\*, Susumu TACHI\*, Kiyoshi KOMORIYA\* and Minoru ABE\*

This paper deals with the information transmission characteristics of a two-dimensional electrocutaneous communication method using magnitude and frequency simultaneously. Firstly, the channel capacity of a two-dimensional electrocutaneous communication system is discussed. Secondly, the maximum information transmission rate is estimated from a category detection test. Finally, the reaction time, the time between the presentation of a two-dimensional electrocutaneous stimulus and a detectable response to it is measured and the maximum information transmission rate per second is calculated.

The following results are obtained; (1) The channel capacity of the two-dimensional electrocutaneous communication system is the summation of the channel capacities of both the magnitude dimension in a minimum frequency level and the frequency dimension in a minimum magnitude level. Its value ranges from 5.6 to 6.0 [bit/symbol] for four subjects. (2) The maximum information transmission rate estimated from the category detection test is 2.7—3.2 [bit/symbol] for three subjects. It is larger than the individual one-dimensional information transmission rate, but not more than the sum of the both. Especially, when the frequency and the magnitude dimensional stimuli are presented simultaneously, the information rate transmitted only through the magnitude dimension has a tendency to decrease due to the interaction between the two dimensions. (3) The reaction time of the two-dimensional category detection test is 300—970 [ms] for  $N_m=2\sim 4$ ,  $N_f=2\sim 4$ , where  $N_m$  and

$N_f$  indicate the numbers of categories of magnitude and frequency, respectively. On the basis of the above results, the upper limit of the presented number of the two-dimensional categories is a paired  $N_m=3$ ,  $N_f=3$ , which can be more advantageous for the simultaneous presentation of two-dimensional stimuli from the standpoint of increasing the information transmission rate per second than for the sequential presentation of them. For  $N_m=2\sim 3$ ,  $N_f=2\sim 3$  information transmission rate per second is found to be 4.5 [bit/symbol] to 6.4 [bit/symbol].

### 1. はじめに

皮膚表面へ加える電気パルス刺激により生体へ何らかの情報を送ろうとする時、使用電極を单一電極に限った場合、その情報次元として強度、周波数の二つの次元があることが知られている<sup>1),2)</sup>。これらはそれぞれ、パルスのエネルギーおよびパルスの繰返し周波数に情報をのせることに相当する<sup>3),4)</sup>。ところで、生体への情報伝達を考える場合、その信号の数は1種類であるとは限らず、複数の信号を取り扱わねばならないことが少なからず生ずる。そのような時、電極を複数個配置し、それぞれに独立に情報を対応させるのが最も直接的な情報伝達手法であるが、特に送るべき信号が2種類の場合には、単一の電極で、周波数と強度の両次元に同時に情報をのせることも考えられる。

このような二つの情報次元を同時に用いるいわゆる2次元情報伝達の研究は、古くは Pollack により音刺激に対して行われているが、それによれば、2種の情報を同時に表示できるということの他に、单一刺激当りの伝達情報量を増やすことにも効果があることが指摘されている<sup>5)</sup>。单一刺激当りの伝達情報量の増加は、一定の必要な情報量を表示する際の刺激素子数の減少にもつながることから、この2次元情報伝達はコンパクトな感覚代行装置の設計に有効に利用できることが予測される。

† 第17回日本エム・イー学会大会で一部発表(昭53・7)  
第17回計測自動制御学会学術講演会で一部発表(昭53・8)

\* 機械技術研究所 茨城県新治郡桜村並木1-2  
\* Mechanical Engineering Laboratory, Niihari-gun, Ibaraki  
(Received March 13, 1979)  
(Revised November 12, 1979)

Fig. 3 Arrangement of two dimensional categories on pulse energy and pulse frequency plane

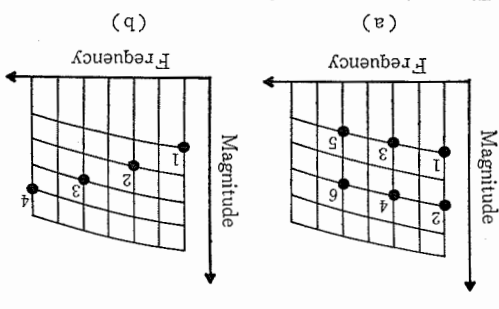


Fig. 3 (b) が示すように、2次元情報は、周波数と強度の組合せによって正確に判別できる。Fig. 3 (a) が示すように、周波数と強度の組合せによって正確に判別できる。Fig. 3 (b) が示すように、2次元情報は、周波数と強度の組合せによって正確に判別できる。Fig. 3 (a) が示すように、周波数と強度の組合せによって正確に判別できる。Fig. 3 (a) が示すように、周波数と強度の組合せによって正確に判別できる。Fig. 3 (a) が示すように、周波数と強度の組合せによって正確に判別できる。Fig. 3 (a) が示すように、周波数と強度の組合せによって正確に判別できる。Fig. 3 (a) が示すように、周波数と強度の組合せによって正確に判別できる。

Fig. 3 (a) が示すように、2次元情報は、周波数と強度の組合せによって正確に判別できる。

Fig. 2 Two dimensional information transmission system

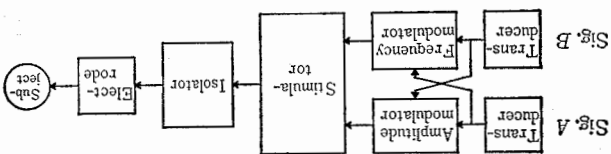
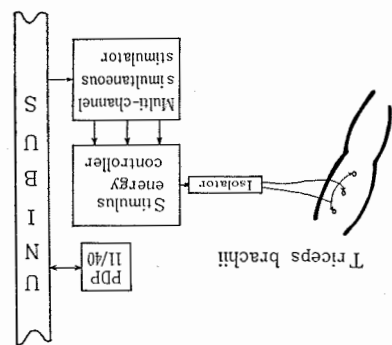


Fig. 1 Experimental setup



周波数と強度の同時情報の送り方で2次元情報伝達

### 3. 2次元情報の提示方法と通信容量

Fig. 1 が示すように、2次元情報は、周波数と強度の組合せによって正確に判別できる。Fig. 1 が示すように、2次元情報は、周波数と強度の組合せによって正確に判別できる。Fig. 1 が示すように、2次元情報は、周波数と強度の組合せによって正確に判別できる。Fig. 1 が示すように、2次元情報は、周波数と強度の組合せによって正確に判別できる。Fig. 1 が示すように、2次元情報は、周波数と強度の組合せによって正確に判別できる。Fig. 1 が示すように、2次元情報は、周波数と強度の組合せによって正確に判別できる。Fig. 1 が示すように、2次元情報は、周波数と強度の組合せによって正確に判別できる。

## 2. 実験装置

Fig. 1 が示すように、2次元情報は、周波数と強度の組合せによって正確に判別できる。Fig. 1 が示すように、2次元情報は、周波数と強度の組合せによって正確に判別できる。Fig. 1 が示すように、2次元情報は、周波数と強度の組合せによって正確に判別できる。Fig. 1 が示すように、2次元情報は、周波数と強度の組合せによって正確に判別できる。Fig. 1 が示すように、2次元情報は、周波数と強度の組合せによって正確に判別できる。Fig. 1 が示すように、2次元情報は、周波数と強度の組合せによって正確に判別できる。

本論文は主として2次元情報伝達の特徴を示す。

Fig. 1 が示すように、2次元情報伝達の特徴を示す。

Fig. 1 が示すように、2次元情報伝達の特徴を示す。

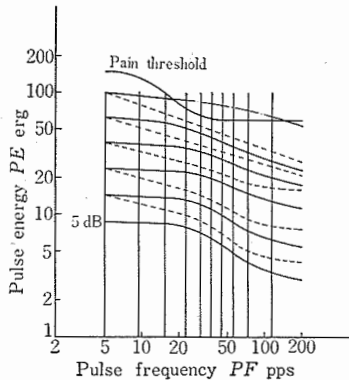


Fig. 4 Channel capacity of two dimensional electrotactile information transmission system is estimated from the number of cross points of equal magnitude curves and equal frequency sensation lines. Each dotted line in the figure indicates the differential limen from the corresponding equal magnitude curve. (subject: K. T.)

験により確認されている<sup>10)</sup>。また、このような2次元情報伝達特性に対する等感覚補正の効果は次章の結果からも確認される。

さて、皮膚刺激情報伝達における通信容量は、一般に、感覚のダイナミックレンジの間に取りうる識別可能な刺激の最大数の2の対数として定義されるが、以上のような2次元情報の呈示条件を考慮すると、2次元情報伝達における通信容量は、そのような定義によらず等強度、等周波数曲線上にあるという条件を満たしつつ、互いの二つを完全に識別しうる刺激の集合をもとにして算出することが妥当と考えられる。このような刺激の集合の決定は、等周波数感覚曲線、等強度感覚曲線が、周波数、強度次元のダイナミックレンジの間にその周辺の弁別閾が重なることなく何本引けるかということに帰着する。そしてこれらの曲線の交点が識別点となり、その総数をNとすれば、 $\log_2 N$ により通信容量が求まる。Fig. 4 にこのような考え方で作成した周波数・刺激エネルギー面上の識別点のマップの一例を示す。図中の点線は等強度感覚曲線の周辺の弁別閾を示している。この等強度感覚曲線の作成およびその周辺の弁別閾の計算には、過去に測定した刺激次元における弁別閾のデータなどを用いた<sup>4), 8)</sup>一方等周波数感覚曲線に関しては、周波数感覚が明瞭に得られるような刺激強度範囲ではほぼ直線になると仮定した。この仮定は経験的にみて妥当と考えられる。

ところで、一般に周波数弁別閾は強度感覚レベルが上昇すると減少する傾向がある<sup>8)</sup>。また、強度弁別閾は、特に周波数帯域 10 (pps)～100 (pps) 程度では、

周波数の増加とともにほぼ減少する<sup>4)</sup>。一方、等強度感覚曲線は、ほぼ等間隔で引かれる<sup>8)</sup>ことを考慮すると、この周波数-刺激エネルギー平面における識別点の数は、最小感覚レベルにおける周波数弁別閾の取りうるステップ数と、最小周波数レベルにおける強度弁別閾の取りうるステップ数との積で決まることが推定される。

このような算出法で、2次元情報伝達における通信容量を算出すると、被験者4名に対し、ダイナミックレンジを5 [dB]～痛覚閾、5 [pps]～150 [pps]とした場合、50～60ステップ程度、すなわち5.6～6.0 [bit/symbol] 程度となった。

#### 4. カテゴリー判断実験

通信容量は、弁別閾を基本として算出されたものであるから、これ以上は情報を送ることができないという限界を示す値である。一方、一般にわれわれは、カテゴリー番号が付けられた複数個の刺激をランダムに呈示された場合、個々の刺激の相違が判断できたとしても、それがどのカテゴリーの刺激であるかを判定できるとは限らない。本章では、人のこのような多カテゴリー刺激呈示に対する情報認知能力、すなわち刺激に対する一種の絶対判断能力の面から2次元刺激の情報伝達特性を評価するとともに、その結果をもとに、2次元情報呈示における等強度補正の効果および、次元の干渉の問題について考察を加える。

##### 4.1 実験方法

前章のごとく刺激エネルギー・周波数平面上に等強度感覚曲線、等周波数感覚曲線（前章同様刺激エネルギーに対し一定とする。すなわち、刺激エネルギーレベルの異なる二つの刺激を呈示しても、その周波数が互いに等しい場合は同一の周波数感覚を与えるものと考える。）をそれぞれN, M本引き、そのN×M個の交点( $E_1, f_1$ ), ( $E_1, f_2$ )…( $E_N, f_M$ )で定まるパラメータをもつ刺激のカテゴリーをランダムに呈示

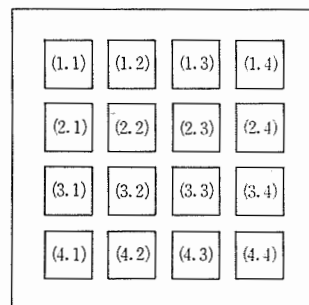


Fig. 5 Switch board

应该使度量正力效果来 $H(x)$ 。如果度量 $x$ 的 $N$ 维空间里 $(H_{max}, H_{min})$ ， $H_{max} = \max_{i=1}^N H_{max,i}$ ， $H_{min} = \min_{i=1}^N H_{min,i}$ 。那么 $H(x)$ 的 $i$ 维分量 $H_{i,x}$ 是 $H_{i,x} = \frac{1}{N} \sum_{j=1}^N H_{i,j}$ ， $i = 1, 2, \dots, N$ 。所以 $H(x)$ 的 $i$ 维分量 $H_{i,x}$ 的值域是 $[H_{min,i}, H_{max,i}]$ 。如果 $H_{max,i} = H_{min,i}$ ，那么 $H_{i,x}$ 的值域是单值的，即 $H_{i,x} = H_{min,i}$ 或 $H_{i,x} = H_{max,i}$ 。如果 $H_{max,i} > H_{min,i}$ ，那么 $H_{i,x}$ 的值域是双值的，即 $H_{i,x} = \frac{1}{N} \sum_{j=1}^N H_{i,j}$ 或 $H_{i,x} = \frac{1}{N} \sum_{j=1}^N H_{i,j} + \frac{1}{N}$ 。

$N$	$N_m$	$H(x, y; z)$	Subject K.T.	Subject Y.T.	Subject K.K.
2	2	2.0	2.5	2.0	2.0
3	3	2.3	2.5	2.0	2.0
4	4	2.6	2.4	2.5	2.5
5	5	2.7	2.7	2.8	2.7
6	6	2.8	2.7	2.8	2.7
7	7	2.9	2.9	2.8	2.9
8	8	3.0	3.2	3.0	3.0
9	9	3.3	3.5	3.0	3.3
10	10	3.6	3.8	3.5	3.6

Table 1 Two dimensional information transmission rate ( $H(x, y; z)$ )

rate ( $N$ ): Number of category of frequency dimension,  $H(x, y; z)$ : Information transmission rate

dimension,  $N_m$ : Number of category of magnitude dimension,  $H_{max}$ : Maximum information transmission rate

dimension,  $H_{min}$ : Minimum information transmission rate

应该使度量正力效果来 $H(x)$ 。如果度量 $x$ 的 $N$ 维空间里 $(H_{max}, H_{min})$ ， $H_{max} = \max_{i=1}^N H_{max,i}$ ， $H_{min} = \min_{i=1}^N H_{min,i}$ 。那么 $H(x)$ 的 $i$ 维分量 $H_{i,x}$ 是 $H_{i,x} = \frac{1}{N} \sum_{j=1}^N H_{i,j}$ ， $i = 1, 2, \dots, N$ 。所以 $H(x)$ 的 $i$ 维分量 $H_{i,x}$ 的值域是 $[H_{min,i}, H_{max,i}]$ 。如果 $H_{max,i} = H_{min,i}$ ，那么 $H_{i,x}$ 的值域是单值的，即 $H_{i,x} = H_{min,i}$ 或 $H_{i,x} = H_{max,i}$ 。如果 $H_{max,i} > H_{min,i}$ ，那么 $H_{i,x}$ 的值域是双值的，即 $H_{i,x} = \frac{1}{N} \sum_{j=1}^N H_{i,j}$ 或 $H_{i,x} = \frac{1}{N} \sum_{j=1}^N H_{i,j} + \frac{1}{N}$ 。

应该使度量正力效果来 $H(x)$ 。如果度量 $x$ 的 $N$ 维空间里 $(H_{max}, H_{min})$ ， $H_{max} = \max_{i=1}^N H_{max,i}$ ， $H_{min} = \min_{i=1}^N H_{min,i}$ 。那么 $H(x)$ 的 $i$ 维分量 $H_{i,x}$ 是 $H_{i,x} = \frac{1}{N} \sum_{j=1}^N H_{i,j}$ ， $i = 1, 2, \dots, N$ 。所以 $H(x)$ 的 $i$ 维分量 $H_{i,x}$ 的值域是 $[H_{min,i}, H_{max,i}]$ 。如果 $H_{max,i} = H_{min,i}$ ，那么 $H_{i,x}$ 的值域是单值的，即 $H_{i,x} = H_{min,i}$ 或 $H_{i,x} = H_{max,i}$ 。如果 $H_{max,i} > H_{min,i}$ ，那么 $H_{i,x}$ 的值域是双值的，即 $H_{i,x} = \frac{1}{N} \sum_{j=1}^N H_{i,j}$ 或 $H_{i,x} = \frac{1}{N} \sum_{j=1}^N H_{i,j} + \frac{1}{N}$ 。

应该使度量正力效果来 $H(x)$ 。如果度量 $x$ 的 $N$ 维空间里 $(H_{max}, H_{min})$ ， $H_{max} = \max_{i=1}^N H_{max,i}$ ， $H_{min} = \min_{i=1}^N H_{min,i}$ 。那么 $H(x)$ 的 $i$ 维分量 $H_{i,x}$ 是 $H_{i,x} = \frac{1}{N} \sum_{j=1}^N H_{i,j}$ ， $i = 1, 2, \dots, N$ 。所以 $H(x)$ 的 $i$ 维分量 $H_{i,x}$ 的值域是 $[H_{min,i}, H_{max,i}]$ 。如果 $H_{max,i} = H_{min,i}$ ，那么 $H_{i,x}$ 的值域是单值的，即 $H_{i,x} = H_{min,i}$ 或 $H_{i,x} = H_{max,i}$ 。如果 $H_{max,i} > H_{min,i}$ ，那么 $H_{i,x}$ 的值域是双值的，即 $H_{i,x} = \frac{1}{N} \sum_{j=1}^N H_{i,j}$ 或 $H_{i,x} = \frac{1}{N} \sum_{j=1}^N H_{i,j} + \frac{1}{N}$ 。

#### 4.2 实验结果与考察

算模式如图 5 所示。

图 5 所示为一个由三个矩阵组成的 3x3 矩阵，表示一个 3D 空间中的三个向量。矩阵中包含许多数字，表示向量的大小和角度。图 5 中展示了三个向量：X.T. (3.0, 2.0, 1.8), Y.T. (2.1, 1.8, 3.9) 和 Z.T. (2.9, 2.0, 1.9)。向量 X.T. 的长度为 3.0，向量 Y.T. 的长度为 3.9，向量 Z.T. 的长度为 2.9。向量之间的夹角可以通过余弦定理计算得出。

$$\log_2 P(x, y_i | z_i)$$

$$H(x, y; z) = -\sum_{i=1}^m P(x, y_i | z) \log_2 P(x, y_i | z)$$

$$H(x, y, z) = -\sum_{i=1}^m P(x, y_i, z_i) \log_2 P(x, y_i, z_i)$$

$$[bit/symbol] \quad (1)$$

$$H(x, y; z) = H(x, y) - H(x, y|z)$$

出错率。

式(1)是计算 3D 时 2 次元压缩量 $H(x, y; z)$ 的表达式。以下为式(1)的推导过程。首先，将图 5 中的三个向量 $x, y, z$ 表示为 $\begin{pmatrix} x \\ y \\ z \end{pmatrix}$ 。然后，计算它们的点积 $x \cdot y, y \cdot z, z \cdot x$ 。接着，计算它们的模长 $\|x\|, \|y\|, \|z\|$ 。最后，根据公式(1)计算出 $H(x, y; z)$ 。

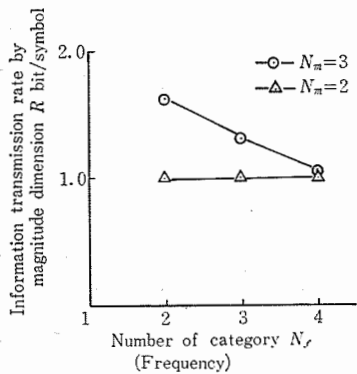


Fig. 6 Information transmission rate as a function of number of category  $N_f$  ( $N_f$ : Number of category of frequency dimension,  $N_m$ : Number of category of magnitude dimension, subject: Y. T.)

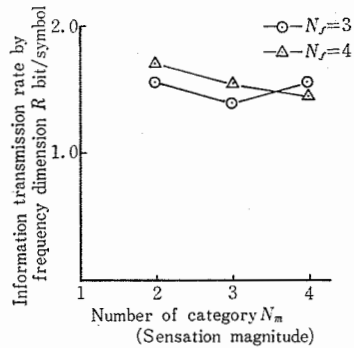


Fig. 7 Information transmission rate as a function of number of category  $N_m$  ( $N_f$ : Number of category of frequency dimension,  $N_m$ : Number of category of magnitude dimension, subject: Y. T.)

られる。このような等強度補正効果が得られる原因是、一つには、Fig. 3(a)に示すとく刺激を配列して等強度補正を施すことで、刺激のパラメータの種類が減り、それが刺激判断時における記憶機能にかかる負担を減少させるためと推測される。ただし、この辺の記憶・判断メカニズムの詳細な解明は、さらに一層の心理物理的検討を要する問題である。

Fig. 6, 7 は、次元間の干渉の度合を評価するために2次元情報呈示実験において得られた判断結果を単一次元にのみ注目して、情報量を計算したものである。たとえば Fig. 6において一〇一の曲線は強度レベルを3カテゴリーに分割し、かつ周波数を2, 3, 4カテゴリーに分割して刺激を呈示して、カテゴリーを判断した時に強度次元のみで送られる情報量の変化を示している。この両図から、強度・周波数を複合する2次元情報呈示における強度次元の判断は、カテゴリー

数が多くなると、周波数次元の場合よりももう一つの次元の影響、すなわち干渉をうけやすくなることがわかる。これは、周波数は、比較的、絶対感覚がもちやすく、したがって、他の刺激がノイズ的に作用する場合にも比較的安定に、カテゴリーの判断ができるからであろう。実際、これまでの單一次元に関する実験により、周波数次元は、強度次元よりも絶対判断可能なカテゴリー数は1~2程度多いことが明らかにされている。このようなことから、2次元でカテゴリーを設定する際は、強度次元のカテゴリー数を $N$ 、周波数次元におけるカテゴリー数を $M$ とした時、 $N < M$ となるようにしたほうが、より高い伝達情報量が期待できると考えられる。この結論の妥当性は、Table 1の結果からも推測できるし、また、恒川らの結論<sup>1)</sup>とも一致するものである。

## 5. カテゴリー判断時間の測定

一般に1次元情報伝達におけるカテゴリー判断実験では、人は入力情報量が多くなるとそのカテゴリーの同定に時間を要するようになる。このカテゴリーを同定するまでの時間、すなわち判断時間を $T$ [s]とし、入力情報量を $H$ [bit/symbol]とすると、この両者の間には $T = a + bH$ ( $a, b$ は定数)なる関係のあることが数人の研究者により明らかにされている<sup>9), 12)</sup>。2次元情報伝達でも当然カテゴリーの判断時間は入力情報量に依存すると考えられるが、その場合もしも周波数、強度次元の分割数を $N_f, N_m$ とした時の2次元カテゴリーの判断時間 $T_{2D}$ が、周波数、強度次元の $N_f, N_m$ 個のカテゴリーを個別に呈示した場合のそれぞれの判断時間 $T_f, T_m$ の和よりも大きくなるならば、次元を複合せず各次元を逐次的に呈示したほうが、単位時間当たりの伝達情報量を大きくするという面では有利になろう。本章では、2次元カテゴリーの判断時間および周波数次元、強度次元を逐次的に呈示した場合のカテゴリー判断時間を測定し、2次元情報の单一時間当たりの伝達情報量を評価するとともに、1次元情報を逐次的に呈示する方式との比較のうえで、2次元情報の最適呈示カテゴリー数について検討を加える。

### 5.1 実験方法

実験の内容は、前章の実験と同様に複数のカテゴリーの刺激をランダムに呈示し、それがどのカテゴリーの刺激かをできるだけ速く、かつ正確に被験者にすでに述べた Fig. 5 で示した回答用スイッチを押すことにより判定させ、その時の刺激呈示開始時点から回答スイッチが押されるまでの時間を計算機内のリアルタ

第1過程の実験結果、(a)式の固波数を10,

5.2 実験結果 (3)

(3,2), (3,3), (3,4), (4,3), (4,4) が好く施行した。

右記被験者3名 (2~3才) でも、左記被験者3名 (2~3才) が好く施行した。

結果の表示法の式を述べ、百分位数表示法。

次元の被験時間の確率密度関数  $m_i(T)$ : 固波数

? に対する固波時間の確率密度関数  $f_i(T)$ : 確率分布関

? 同時生産率  $\beta_i(T)$ : 生産率が好く好んで

手に一〇番、 $\beta_i(j)$ : たとえ手に一〇手に

一つ番号、 $N_f$ ,  $N_m$ : 離度、固波数各次元における手

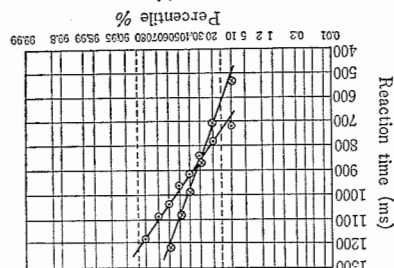
(c)  $N_f=4$ ,  $N_m=4$

(a)  $N_f=2$ ,  $N_m=2$  (b)  $N_f=3$ ,  $N_m=3$ ,

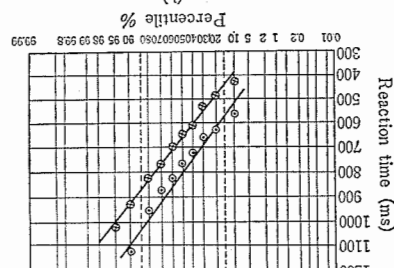
dimension)

$N$ : Number of category of magnitude  
of category of frequency dimension,  
presented of them (—○—) ( $N$ ): Number  
of simultaneous presentation of two dimensions-  
onal stimuli (—×—) and the sequential  
stimuli (—○—) and the sequential  
presentation of different time for the  
plotting on normal-probability paper for the  
reaction time as a function of different time

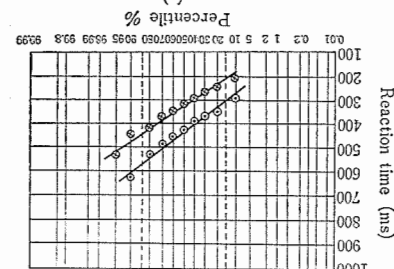
(d)



(b)



(a)



20, 50, 100 [ms] と種々変更して測定を行ったところ、3名の被験者に対する平均値  $T_d$  は 183 [ms], 202 [ms], 214 [ms] となった。第2過程、第3過程の実験では判断時間を求める際、実測値からこれらの値をさし引いた。

**Fig. 8(a), (b), (c)**に第2過程、第3過程の実験から得られた判断時間の測定結果の例を示す。これは、 $(N_m, N_f)=(2, 2), (3, 3), (4, 4)$  の場合に関する3名の被験者の判断時間の平均値の確率分布関数を正規確率紙上にプロットしたもので、その横軸は百分位数に、また縦軸は判断時間に対応している。図中のプロットの相異は第2過程(—⊗—)および第3過程(—◎—)の実験から得られた結果を示している。この結果からそれぞれの判断時間の分布はほぼ正規分布に従うことがわかる。なおここでは三つの場合の結果しか示していないが、 $(N_m, N_f)=(2, 3), (3, 2), (3, 4), (4, 3)$  のそれぞれに対しても同様の傾向が得られた。

### 5.3 考察と検討

第2過程の実験は5.1節で述べたごとく、2次元カテゴリーを同時に呈示した時のカテゴリー判断時間の分布を求めたものである。一方、第3過程のそれは各次元のカテゴリー  $i, j$  を逐次的に呈示して、カテゴリー  $(i, j)$  を同定させようとした時の判断時間の分布を測定するものであった。ここで、この実験から得られる測定結果は見方を変えれば2次元刺激の判断過程を、各次元を個別に参照することによってその刺激がどのカテゴリーに属する刺激であるかを判定するというモデルで記述できるとした時の2次元刺激に対する判断時間の推定値を与えるものともみなすことができる。Fig. 8(a), (b), (c)の測定結果は2次元刺激を直接判断することから求めた判断時間  $T_{2D}$  と次元を個別に参照するとして評価した2次元刺激の判断時間  $T_f + T_m$  とが、それぞれ異なる値になることを示している。すなわち呈示カテゴリー数が少ない場合には、 $T_{2D}$  のほうが、 $T_f + T_m$  よりも小さくなる確率が高い。そして呈示カテゴリー数が増加するにつれてその差は接近し、次第に百分位数の低い領域をのぞき逆転する傾向が見られる。

このような結果は上述の二つの実験過程の内容を考慮すると、2次元刺激を呈示されてカテゴリー判断を求められた場合、カテゴリーが少ない時は各次元を個別に見ず、一種のパターンとしてそれを認知すること、すなわち、複数の情報の一一種の総合化が知覚過程で行われることを示唆するものと考えられる。

しかしカテゴリーが多くなると、その総合化も困難になる。この場合の判断過程は、本実験の結果のみか

らでは詳細に論することはできないが、多分、Millerらが2種の多次元情報が異種か同種かを判定する際の判断過程では、対象が複雑になると情報の総合化と個別に参照する過程の双方が繰り返されるとしていることから<sup>14)</sup>、ほぼそのような状況が生じて、判断時間が長くなるものとも解釈される。また、カテゴリーの多い場合でも、百分位数の低い領域で2次元カテゴリーを直接判断した場合のほうが判断時間が速くなっているが、これは、Pollackら<sup>5)</sup>も指摘しているごとく、端点のカテゴリーに対して（たとえば、(1, 1), ( $N_f, N_m$ )）カテゴリーの記憶が一般的に容易であり、比較的パターンとしてそれを認知しやすいということの効果が表われているものと思われる。このことは、各カテゴリーに対する判断時間の測定結果の分布形状から一應確認された。

2種の実験過程から得られた判断時間の相異をより定量的に把握し、かつ2次元情報伝達に有効な呈示カテゴリー数の範囲を明らかにするために、つぎに統計的検定を行った。まず、*F*検定により分散に有意差のないことを確認した後、判断時間の平均値間の有意差検定(*t*検定)を行った結果をTable 3に示す。特に  $N_f=4, N_m=4$  に対しては、判断時間の百分位数が50[%]となる点の前後に対しても検定を行った。この表から  $p < 0.05$  で、 $N_m=3, N_f=3$  までが差が有意となることがわかる。また、 $N_f=4, N_m=4$  では百分位数50[%]以上で、逆の方向に差が有意となる。

**Table 3** Mean reaction time for the simultaneous presentation of two dimensional stimuli and the sequential presentation of them and associated *t*-tests ( $N_f$ : Number of category of frequency dimension,  $N_m$ : Number of category of magnitude dimension, RT: Mean reaction time for the simultaneous presentation of two dimensional stimuli [ms], RTS: Mean reaction time for the sequential presentation of two dimensional stimuli [ms])

$N_f$	$N_m$	RT	RTS	$t^*$	Freedom
2	2	317	437	-2.14	38
	3	487	583	-2.18	
3	2	506	629	-2.53	38
	3	643	774	-2.56	
	4	770	874	-1.15	
4	3	773	886	-1.15 0.82(0-100%)	38
	4	1079	965	-0.58(0-50%) 2.52(50-100%)	
	3				16
	4				18

\* Critical  $t(38)=1.68$ ,  $t(18)=1.73$  and  $t(16)=1.75$ ,  $p < 0.05$ , one-tailed

- (Ⅲ) 2次元情報伝達量に対する情報量の算出方法  
T<sub>f</sub>, N<sub>m</sub>, H(x, y; z)/T bit/s
- Table 4 Two dimensional information transmission rate for three subjects ( $N_f$ : Number of category of frequency dimension,  $N_m$ : Number of category of magnitude dimension,  $H(x, y; z)/T$ : Information transmission rate)
- | $N_f$ | $N_m$ | $H(x, y; z)/T$ bit/s |
|-------|-------|----------------------|
| 2     | 2     | 6.4                  |
| 2     | 3     | 5.1                  |
| 3     | 2     | 5.0                  |
| 3     | 3     | 4.5                  |
- すなはち、この2次元情報伝達量は、情報量の算出方法によって、以下のようになります。  
 3,  $N_f \leq 3$  の場合に2次元情報量の算出方法は、 $H(x, y; z)/T$  が1次元情報量である。  
 一方、 $N_f > 3$ ,  $N_m > 3$  の場合は、  
 次元複合化によって、各次元を複数の次元として扱う。  
 2次元情報量の算出方法は、 $H(x, y; z)/T$  が1次元情報量である。  
 2次元情報量の算出方法は、 $H(x, y; z)/T$  が1次元情報量である。
- 1) 但し、加藤：電気通信工学による情報処理能力、人間工学、6, 181/187 (1970)  
 2) R.E. Prior: Study of Electrocutaneous Parameters Revealed to Dynamical Tactile Communication Systems, Doctoral thesis, UCL (1972)  
 3) 鎌, 佐江, 田中, 小森谷, 阿部: 感覚装置測定の感度算出法とその応用、電子工学研究会論文集、18(1977)  
 4) 佐江, 鎌, 佐江, 大野, 藤川, 阿部: 感覚装置測定の感度算出法とその応用、電子工学研究会論文集、15-5, 13/  
 5) I. Pollock: The Information of Elementary Auditory Displays, II, J. Acoust. Soc. Am., 62, 765/769  
 6) 佐江, 鎌, 佐江, 小森谷, 阿部: 感覚装置測定の感度算出法とその応用、電子工学研究会論文集、31-2, 32/44 (1977)  
 7) 佐江, 鎌, 小森谷, 阿部: 感覚装置測定の感度算出法とその応用、電子工学研究会論文集、31-2, 32/44 (1977)  
 8) 佐江, 鎌, 小森谷, 阿部: 感覚装置測定の感度算出法とその応用、電子工学研究会論文集、33-4, 1980)
- 9) 市川, 山本, 三澤, 阿部: 感覚装置測定の感度算出法とその応用、電子工学研究会論文集、159/170 (1979)  
 10) 佐江, 鎌, 小森谷, 阿部: 感覚装置測定の感度算出法とその応用、電子工学研究会論文集、4, 17/24, 重大出版  
 11) 佐江, 鎌, 小森谷, 阿部: 感覚装置測定の感度算出法とその応用、電子工学研究会論文集、268 (1978)  
 12) T.B. Sherridan and W.R. Ferrell: Man-Machine  
 Systems, p. III, The MIT press (1974)  
 13) F. Attneave (小野), 研究開拓: 心理学と情報理論, p.  
 14) J. Miller: Multidimensional Same-Different Judge-  
 ment; Evidence Against Independent Comparison Dimensions; Perception and Performance, 4-3, 423/439 (1978)

ト準拠生じる。特に、強度次元が他の次元の干渉をもたらす場合に、2次元情報量に対する情報量の算出方法は、 $N_f = N_m = 4$  の場合に対する、伝達情報量は最大となる。(Ⅱ) 2次元情報伝達量に対する情報量の算出方法は、 $N_f = N_m = 2, 3, 5, 6 \sim 6.0$  [bit/symbol] が最も大きい。(Ⅰ) 2次元情報伝達量に対する情報量の算出方法は、 $N_f = N_m = 2$  の場合に対する、伝達情報量は最も大きい。

Table 4 2次元情報伝達量に対する情報量の算出方法

$N_f$	$N_m$	$H(x, y; z)/T$ bit/s
3	2	5.0
2	3	5.1
2	2	6.4
3	3	4.5

すなはち、この2次元情報伝達量は、情報量の算出方法によって、以下のようになります。  
 3,  $N_f \leq 3$  の場合に2次元情報量の算出方法は、 $H(x, y; z)/T$  が1次元情報量である。  
 一方、 $N_f > 3$ ,  $N_m > 3$  の場合は、  
 次元複合化によって、各次元を複数の次元として扱う。  
 2次元情報量の算出方法は、 $H(x, y; z)/T$  が1次元情報量である。  
 2次元情報量の算出方法は、 $H(x, y; z)/T$  が1次元情報量である。

## 6. 結論

Table 4 2次元情報伝達量に対する情報量の算出方法

$N_f$	$N_m$	$H(x, y; z)/T$ bit/s
3	2	5.0
2	3	5.1
2	2	6.4
3	3	4.5

すなはち、この2次元情報伝達量は、情報量の算出方法によって、以下のようになります。  
 3,  $N_f \leq 3$ ,  $N_m \leq 3$  の場合は、  
 情報量の算出方法によって、各次元を複数の次元として扱う。  
 2次元情報量の算出方法は、 $H(x, y; z)/T$  が1次元情報量である。  
 2次元情報量の算出方法は、 $H(x, y; z)/T$  が1次元情報量である。

## 参考文献

- 1) 佐江, 加藤: 電気通信工学による情報処理能力、人間工学、6, 181/187 (1970)  
 2) R.E. Prior: Study of Electrocutaneous Parameters Revealed to Dynamical Tactile Communication Systems, Doctoral thesis, UCL (1972)  
 3) 鎌, 佐江, 田中, 小森谷, 阿部: 感覚装置測定の感度算出法とその応用、電子工学研究会論文集、18(1977)  
 4) 佐江, 鎌, 佐江, 大野, 藤川, 阿部: 感覚装置測定の感度算出法とその応用、電子工学研究会論文集、15-5, 13/  
 5) I. Pollock: The Information of Elementary Auditory Displays, II, J. Acoust. Soc. Am., 62, 765/769 (1977)  
 6) 佐江, 鎌, 佐江, 小森谷, 阿部: 感覚装置測定の感度算出法とその応用、電子工学研究会論文集、31-2, 32/44 (1977)  
 7) 佐江, 鎌, 小森谷, 阿部: 感覚装置測定の感度算出法とその応用、電子工学研究会論文集、31-2, 32/44 (1977)  
 8) 佐江, 鎌, 小森谷, 阿部: 感覚装置測定の感度算出法とその応用、電子工学研究会論文集、33-4, 1980)
- 9) 市川, 山本, 三澤, 阿部: 感覚装置測定の感度算出法とその応用、電子工学研究会論文集、159/170 (1979)  
 10) 佐江, 金子, 三澤, 阿部: 感覚装置測定の感度算出法とその応用、電子工学研究会論文集、4, 17/24, 重大出版  
 11) 佐江, 金子, 小森谷, 阿部: 感覚装置測定の感度算出法とその応用、電子工学研究会論文集、268 (1978)  
 12) T.B. Sherridan and W.R. Ferrell: Man-Machine  
 Systems, p. III, The MIT press (1974)  
 13) F. Attneave (小野), 研究開拓: 心理学と情報理論, p.  
 14) J. Miller: Multidimensional Same-Different Judge-  
 ment; Evidence Against Independent Comparison Dimensions; Perception and Performance, 4-3, 423/439 (1978)